

地下水の浸透機構について。(第二報)

大阪大学工学部 正員 室田明
大阪府立高専 正員 佐藤邦明

研究目的

我々は前報において完全飽和浸透のメカニズムを明確に解析するために、多孔体モデルの表現に単位透水体の概念が有効である事とのべ、またそれに関連する事項として数種類の人工粒径分布をもつてめたされたガラス球の平均の空げき率と分布標準偏差との相間を実測したところを報告した。

今回、空げき規模と粒径分布の関係、空げき規模関数の設定、またそれら分布特性の関連について最近の研究結果を報告し、また空げき規模関数による浸透係数の数学的、統計的な取扱いの具体化についても併せて述べたい。

2.1 浸透係数の表現と空げき規模関数の関係

エネルギーの散逸という立場から浸透係数を論じる。レイノルズの運動方程式は

$$\rho (\frac{\partial \bar{U}_i}{\partial t} + \bar{U}_j \frac{\partial \bar{U}_i}{\partial x_j}) = - \frac{\rho}{\mu} \frac{\partial \bar{U}_i}{\partial x_i} + \frac{\rho}{\mu} \frac{\partial x_j}{\partial x_i} (\mu \frac{\partial \bar{U}_i}{\partial x_j} - \rho \bar{U}_i \bar{U}_j) + F_i \quad (2.1)$$

ρ ; 密度, \bar{U} ; 平均流速, μ ; 粘性係数, F ; 外力, U ; 变動流速, P ; 圧力, t ; 時間, x ; 長さ, $i, j = 1, 2, 3$, である。

流れが保存系の流場を有すると考える。外力がスカラーラー量から導かれるなら、(2.1)式は

$$-\frac{\partial \bar{U}_i}{\partial x_i} + \frac{\rho}{\mu} \frac{\partial x_j}{\partial x_i} (\mu \frac{\partial \bar{U}_i}{\partial x_j} - \rho \bar{U}_i \bar{U}_j) = 0 \quad (2.2)$$

となる。式において、 $\phi = \frac{1}{\rho g} (\bar{P} - V_i)$ であり、 V_i は後述する吸着ポテンシャルを含む形である。もし次の様な R_1, R_2 が考えられるなら、 $\mu \frac{\partial \bar{U}_i}{\partial x_i} = R_1 \bar{U}$, $-\frac{\rho}{\mu} \frac{\partial x_j}{\partial x_i} (\bar{U}_i \bar{U}_j) = R_2 \bar{U}^2$, $\frac{\partial \bar{U}_i}{\partial x_i} = I$, と置けば、

$$I = R_1 \bar{U} + R_2 \bar{U}^2 \quad (2.3)$$

をうる。単位流体マス内のエネルギー散逸係数 R_1, R_2 は共にポテンシャルエネルギーから運動のエネルギーへの変換係数を示す定数である。

(2.3)式は一般に乱れを含む流れにおいて古くから経験的に知られてる。

我々は特に多孔体内の流れという点に立脚し R_1, R_2 の表現について検討を加える。

単位透水体内の内部の流れについて次の二通りマクロ的なエネルギーの式がある。

$$\frac{dE}{dt} = \rho \int_{\partial V} \bar{M} d(\lambda \partial V) - \mu \int_{\partial V} \bar{N} d(\lambda \partial V) = 0 \quad (2.4)$$

式において、 \bar{M} ; 単位透水体内部の単位流体マスの平均レイノルズ応力、 \bar{N} ; 平均粘性応力、 λ ; 空げき率、である。(2.4)式によると(2.5)式の様な C_t を導入し(2.6)式のごとく流れを分類する事ができる。

$$C_t = \rho \int_{\partial V} \bar{M} d(\lambda \partial V) / \mu \int_{\partial V} \bar{N} d(\lambda \partial V) \quad (2.5)$$

この C_t を状態係数と名づける。

$C_t \ll 1$: 完全層流

$$E = E \left\{ \mu, \left(\frac{\partial u_i}{\partial x_i} \right)^2, \left(\frac{\partial u_i}{\partial x_j} + \frac{\partial u_j}{\partial x_i} \right)^2 \right\} \quad (2.7)$$

$C_t \sim 1$: 遷移流

(2.6) シキ

$C_t \gg 1$: 完全乱流

$$E = E \left\{ \left(\frac{\partial u_i}{\partial x_i} \right)^2, \left(\frac{\partial u_i}{\partial x_j} + \frac{\partial u_j}{\partial x_i} \right)^2 \right\} \quad (2.8)$$

C_t により設定した3つの領域についても、 R_2 またR₃を考察する。

まず $C_t \ll 1$ の場合における式について考える。

層流の場合に単位流体マスの単位時間内の粘性による平均エネルギー散逸量は(2.7)の表現をもつ。

次に無次元量、 $\xi_i = x/d$, $\bar{U}_i = u_i/\bar{U}$ で(2.6)式を次元変換すると(2.8), (2.9)をうる。

$$E = E \mu \bar{U}^2 / d^2 \quad (2.9), \quad E(\text{D}) = \mu \bar{U}^2 / C \cdot d^2 \quad (2.10),$$

$$C = 1/\rho \lambda \quad (2.11), \quad d = \lambda \Delta V \quad (2.12),$$

ここで流系の代表的長さ d と 1 何を採用すべきか、また平均的な流速 \bar{U} の設定の問題は浸透流の X カニズムを考える時、基本事項である。

さうに、単位透水体 ΔV あたりのエネルギー散逸量 $E(\text{D})$ は(2.10)でえられる。ここで ΔV は単位透水体より十分大きい多孔体の容量である。また C は空げき率と多孔体の規模と幾何的形状によつて決定されるものである。

~~多孔体内部の流体の運動に外部から加えられるべきエネルギー $E(\text{D})$ は $E(\text{D}) = \bar{U} d \phi / dx_i = \bar{U} I$ でなければならぬ。~~ たがつて我々は次の表現とて

$$\Phi_1 = \mu / C \cdot d^2 \quad (2.13)$$

をうる。すなわち、多孔体内部の層流のエネルギー散逸は粘性係数に比例し、代表的長さの 2 乗と多孔体の規模、幾何的形状、空げき率に逆比例する事が判る。

注意すべき事項としてエネルギー散逸の局が一般にダルシーの法則で知られてる浸透係数の逆数になつている事である。さうに、(2.13)式が後述係数とレイノルズ数 Re の経験的関係 $Re^{-1} = a + b Re$, (a, b 定数) からも得られる事は講演時にのべる積りである。

次に乱れの発生とともに $C_t \sim 1$ の場合について全体空げき規模関数を用いて論じる。(fig 2.1, fig 2.2)
我々は多孔体内部の流れの状態を空げき規模関数 $P(d)$ を用いて、すなはちこのエネルギーの散逸ペーパンを空げき規模の関数として

Classification due to flow pattern

(1); Non-flow region

(2); Over-high viscosity region

(3); Capillaric model region

(4); Transitional region

(5); Turbulent region

Classification due to dissipation

(1); Non-energy dissipation region

(2); High energy dissipation region

(3); Laminar dissipation region

(4); Laminar and turbulent dissipation region

(5); Turbulent dissipation region

の散逸関数を用いて説明しよう。

分類された各リージョンの物理的意義を考える。

リージョン(1)は空げき規模が $1/2$ ミクロ程度の多孔体について存在する。すなはち吸着水膜により流れは発生しない。たがつて運動によるエネルギーの消費はない。

リージョン(2)は空げき規模が数ミ

クロソの多孔体について成立する。木分子が多孔体粒子に吸着されて壁面附近での分子密度が高くなり見掛け高粘性流体の流れと同じであり、流れによる分子の輸送が多くそのためエネルギーの消費は多く。リージョン(3)は毛管内の粘性流体の流れと言えられエネルギーの散逸は(2)(3)式で表わされる。さうにリージョン(4)はいわゆる遷移流の領域であって、エネルギー消費は層流、乱流抵抗則によつて決まる。リージョン(5)は完全乱流であり、エネルギーは乱れの波数と乱れのサイズで決まる。

各リージョン境界と木子持泡の空げき規模 d_1, d_2, d_3, d_4 はあら空げき規模関数の決定した多孔体について、決して固定された値をこうすり流れに加えられるエネルギーの大きさによって決るものである。以エの概念の下で流れの遷移係数 $C_t \gg 1$ の場合エネルギー散逸係数は次の形となる。

$$k_t \sim (\mu + \epsilon_m) / C_1 \int_{d_3}^{d_4} P(d) d^2 dd + \mu / C_2 \int_{d_3}^{d_4} n^2 d^2 P(d) dd \quad (2-14)$$

式中、 ϵ_m は吸着粘性係数、 n は乱れの波数、また d_3 は遷移空げき規模径である。(各々の事項の意義、推定の試みについて講演時に述べる。)

最後に拡散係数 $C_t \gg 1$ の場合、流れ内部の消費エネルギーは加えられるエネルギーの大きさにかかわらず一定である。

k_2 の表現式

$$k_2 \sim C_3 \mu / \int_{d_4}^{\infty} n^2 d^2 P(d) dd \quad (2-15)$$

あるいは、ある代表的な長さ D が求めれば、 $k_2 \sim C/GD$ となる一定の値となる事になる。

ただし、 C は通常にえうんだ実数である。この結果は実験的にも証明される。

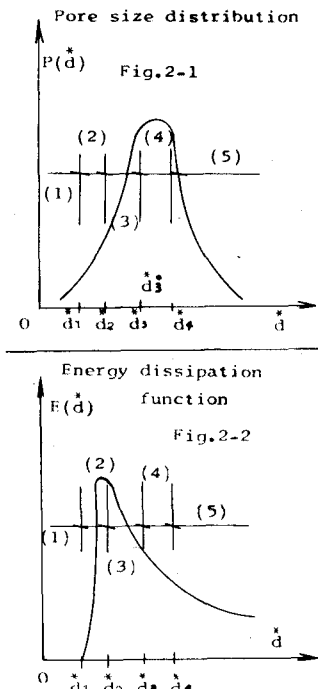
2.2 空げき規模関数の実験的決定。

空げき規模関数を実験的に決定するため、我々は次の様な実験を試みた。

粒径 1, 2, 3, 4, 5, 6, 7, 8, 9, 10, 12, 14, 16, 18, 20, 25, 30, 40 mm の 18 種類の球を黒色粘土と石こう粉の適当な混合で作った。それら乾燥球粘土粒子を Fig. 2.3 に示した 8 種類の分布に配合し後に径 9.11 mm のビーカー中にこしめ込み、さうにその中に液状石こうを注入した。適当な時間の後、こめ込まれた多孔体が硬化する。そこでも重さ 0.5 cm の間からごく薄切りにして。それらのサンプル (d_{50} が 25, 7.0, 1.7 mm 分布標準偏差 s_t が 1.04, 1.7 mm の場合) が写真 2.1, 2.2 に示されている。非常に明確な空げきの分布、規模が識別できる。

次に我々は独立空げきを条件 $A_i / A_{i+1} = 0$ と考え、得られた独立空げきと等価な球の径をもつて空げき規模とみなした。与えられた 8 種類の粒径分布に対応する空げき規模分布が各々 Fig. 2.3 の記号と同じもので Fig. 2.4 に示されている。確率紙上で直線になつてゐることが判る。

さうに粒径分布の標準偏差 P_{0-50} と空げき規模分布のそれを P_{0-50} と相関を各々 50% 粒径 d_{50} で無次元化して記号別にプロットしたもののが Fig. 2.5 に示されている。詳しく述べた。



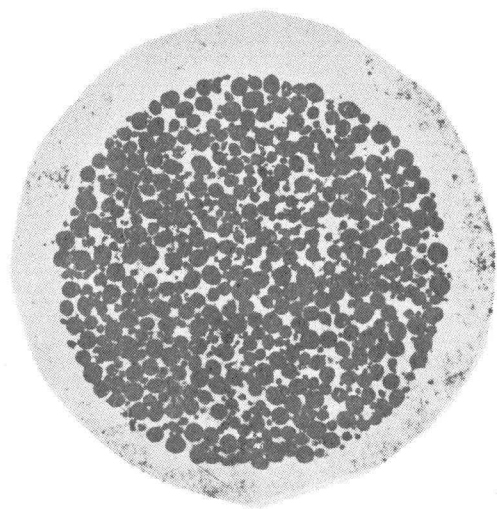
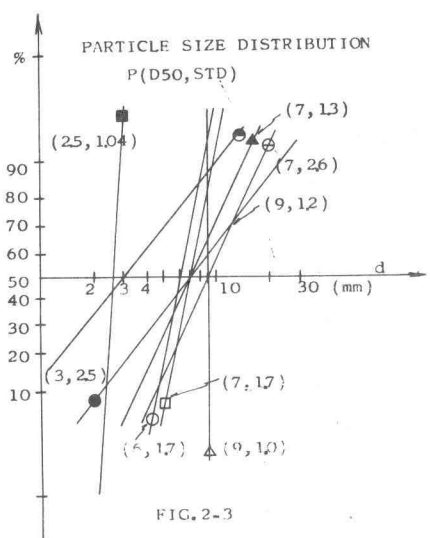


Photo-2-1 $\text{Pa} (2.5, 1.04)$

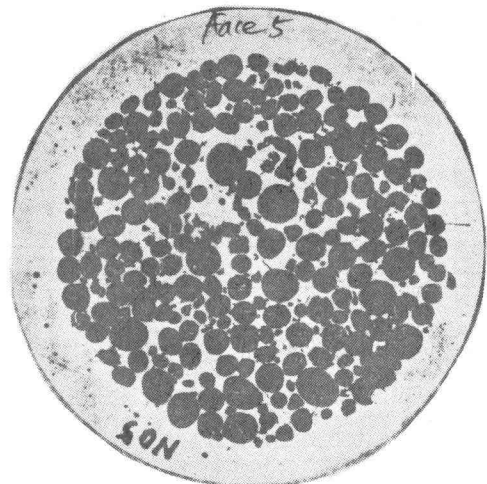
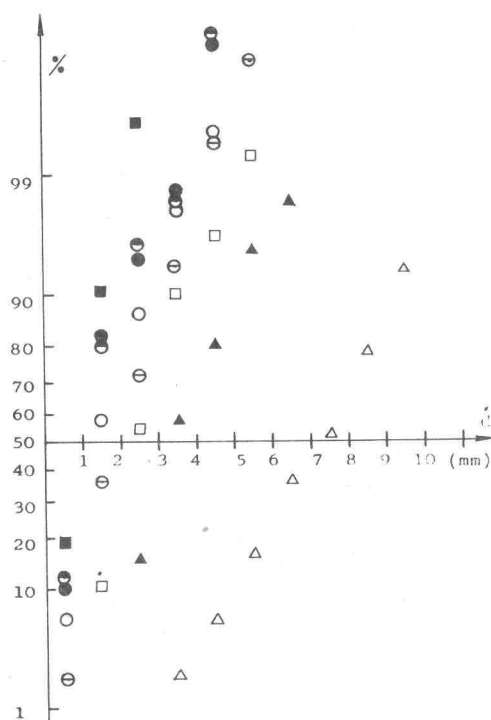


Photo-2-2 $\text{Pa} (7, 1.7)$

